

日本钢管㈱技術研究所 北川 融 ○水上秀昭 工博 川和高穂
京浜製鉄所 製鋼部技術室 石黒守幸

1. 緒 言 既報において¹⁾“鑄型シミュレーター”なる装置によりオシレーションマークの生成およびオシレーション条件とパウダーの流入量の関係について調査した結果の一部を報告した。今回、実機鋳造試験と合わせてパウダーの流入機構について興味ある知見を得たので報告する。

2. 実験概略 シミュレーター実験は既報¹⁾のとおりなので省略する。実機鋳造試験は表1に示す鋳造条件、オシレーション条件で扇島各種連続鋳造機で行ない、パウダー消費量、オシレーションマーク部の凝固組織を調査した。

3. 結果および考察 シミュレーター実験より、オシレーションマークはネガティブストリップ期に、シェルの先端が粘稠なパウダー層によって溶鋼側に曲げられ(図1-1)その後のポジティブストリップ期において溶鋼がシェルの外側に溢れ出して形成される。ネガティブストリップ期には(1)のように半溶融パウダーより溶融パウダーの流路が断たれるために、パウダーりにくく、^(図1-2)ポジティブストリップ期に支配的に流れられた。このような機構を考えると、オシレーションマ t_N (1周期のうちでのネガティブストリップ時間) なり、又、一周期の間にメニスカスの単位長さより流量 q [$g/cycle \cdot cm$] は t_p (1周期のうちでのポジティブ時間) に比例するはずである。実際、シミュレータ 2、および $q = \alpha \times t_p$ なる関係が得られた。

実機鋳造試験においても同様の結果を確認し、 q に関して(1)式、および、より一般的なパウダー流入量 Q (kg/m^3) ($Q = q \times f/v$) の鋳造速度、オシレーションモード依存性を表わす実験式として(2)式を得た。(図3)

$$Q [kg/m^3] = -c \cdot f/v + (d/v) \cos^{-1} \left(-\frac{v}{2\pi A_f} \right) \dots \dots \dots (2)$$

ここで a, b, c, d はパウダー、機種等により異なる定数である。江見ら²⁾は、 t_N が増すとスラグ膜厚 \bar{d}_f が増大すると報告しているが、ネガティブストリップ率が一定の条件では、 t_p が増すと t_N も同じく増加してしまい、 $\bar{d}_f \propto t_p$ と同時に、 $\bar{d}_f \propto t_N$ なる関係も成立する。しかし、ネガティブストリップ率を変えて同様の関係を調べると t_N では整理出来ず、 $\bar{d}_f \propto t_p$ となると考えられる。

- (1) 石田、北川、川和、宮下; 鉄と鋼 64 (1978) S 201
 (2) T. Emi et al., Proc 61st NOH-BOSC (Chicago 1978) 356

表 1. 鋳造条件とオシレーション条件

| 鍛造速度(v) | 振巾(A) | 振動数(f) | スラブサイズ ^W _D | 使用バウダー、粘性 |
|-------------------------|----------|------------|----------------------------------|---------------------------------|
| 0.7～1.1 $\frac{m}{min}$ | ± 4 mm | 60～108 cpm | 4.8～9.7 | A…5.2 poise 1350°C B…3.3 " " |

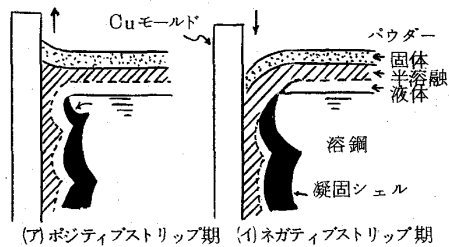


図1 メニスカス近傍の模式図

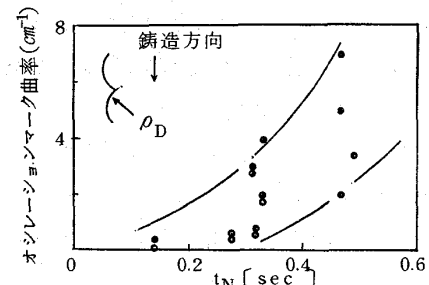


図2. オシレーションマークの曲率とネガティブストリップ時間(t_N)の関係(シミュレータ実験)

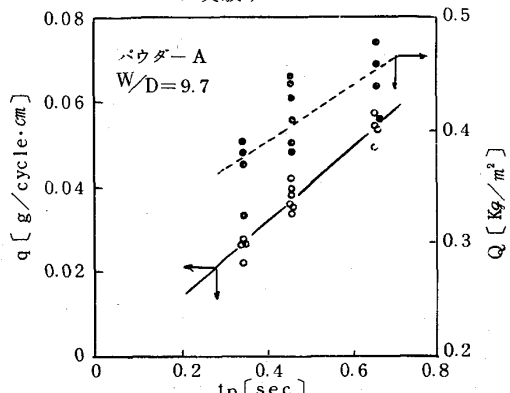


図3. パウダー流入量とポジティブストップ時間の関係(現場実験)